

## تأثير التغذية المتقطعة في كفاءة اداء وحدات الحمأة المنشطة ذات المزج القطاعي العاملة بأوقات مكوث هيدروليكيه متغيرة

د. قصي كمال الدين الأحمدى \* ايناس احمد خضر ميكائيل الطائي \*\*

\* استاذ مساعد، جامعة الموصل/ كلية علوم وتقانات البيئة

\*\* ماجستير، جامعة الموصل / كلية الهندسة - قسم الهندسة المدنية

### الخلاصة

تم في هذا البحث دراسة تأثير التغذية المتقطعة في كفاءة واستقرارية أنظمة الحمأة المنشطة ذات الجريان القطاعي، حيث تم إنشاء وتشغيل محطة اختبارية تتالف من خمسة مفاعلات بيولوجية متشابهة الشكل بسعة (15 لتر) لكل منها، صممت للعمل بشكل متوازي تحت نفس الظروف التشغيلية لكل من التصريف ونسبة ترجيع الحمأة ووقت التعويق الهيدروليكي والحمل العضوي. وقد تم تهيئه أربعة من هذه المفاعلات لعمل بنظام التغذية المتقطعة بنسبة تساوي (1/1) للمفاعل الأول، (2/2) للمفاعل الثاني، (4/4) للثالث، و (6/6) للرابع، في حين عمل المفاعل البيولوجي الخامس بنظام التغذية المستمرة. بينما نتائج البحث أشارت إلى أن تركيز الأمونيا ( $\text{NH}_3$ ) والفسفور ( $\text{PO}_4$ ) الخارجة من المحطات الاختبارية كانت متقاربة في كلا من نظام التغذية المتقطعة ونظام التغذية المستمرة، في حين أن تركيز المواد العضوية المتمثلة بـ(COD) الخارجة من المحطات التي تعمل بنظام التغذية المتقطعة كانت أقل منها في المفاعل ذات التغذية المستمرة ولجميع المراحل التشغيلية. كما أظهرت النتائج أن كفاءة إزالة المواد العضوية والأمونيا والفسفور تتضمن مع انخفاض وقت المكوث الهيدروليكي (HRT) وفي كل من المفاعلات البيولوجية التي تعمل بنظام التغذية المتقطعة والمفاعل ذات التغذية المستمرة. بينما تزداد كفاءة إزالة النitrates مع انخفاض وقت المكوث الهيدروليكي (HRT).

**Keywords:** Plug flow, Activated sludge, intermittent feeding, Intermittent aeration, Hydraulic retention time.

## Effect of Intermittent Feeding on the Performance of Plug Flow Activated Sludge System under Different Hydraulic Retention Times

Dr. Kossay K. Al-Ahmady\*

Enas Ahmad Kader AL-Taee\*\*

\* Asst. Professor, College of Environmental Science and Technology, University of Mosul

\*\* M.Sc., Civil Dept. College of Engineering, University of Mosul

### Abstract

In this research, the effect of intermittent feeding on the efficiency of plug flow activated sludge reactors has been studied. An experimental plant has been constructed and operated. The plant consists of five identical reactors with the volume of (15) liter working in parallel under the same operating conditions for each of discharge; sludge recycling ratio; hydraulic detention time and the organic load. Four of these reactors had been worked at the intermittent (ON/OFF) feeding mode with the ratios of (1/1), (2/2), (4/4) and (6/6) for the first, second, third, and fourth reactor respectively, while the fifth reactor worked at continuous feeding mode. The results showed that, removal efficiencies for each of ammonia ( $\text{NH}_3$ ) and phosphorus ( $\text{PO}_4$ ) were close in both of intermittent and continuous feeding system, while the concentrations of (COD) in effluent were less in the intermittent reactors. Removal efficiencies of (COD), ( $\text{NH}_3$ ), and ( $\text{PO}_4$ ) decreased with reducing the hydraulic retention, whereas nitrate removal efficiency increased with decreasing of hydraulic retention time.

## المقدمة

يعتبر نظام الحمأة المنشطة أحد أنظمة النمو العالق، وقد تم اشتقاق اسم الحمأة المنشطة في هذا النوع من الأنظمة من حقيقة إن المواد المترسبة في حوض الترسيب الثنوي تكون حاوية على كائنات دقيقة فعالة والتي يتم إعادتها أما بشكل كامل او بعضا منها إلى المفاعل بصورة متكررة من أجل زيادة الكتلة الحية المتوفرة.

يعتمد مبدأ المعالجة البيولوجية باستخدام تقنية الحمأة المنشطة على تحويل المواد العالقة او المواد العضوية الذائبة في مياه الفضلات إلى أحياe مجهرية على شكل لبادات صلبة قابلة للترسيب والتي تزال في أحواض الترسيب الثنوي. وحال نفحة أنظمة المعالجة البيولوجية فقد تطورت أنظمة الحمأة المنشطة من أسلوب التشغيل بالدفعات (Batch reactor) في بداية الأمر إلى أسلوب الجريان المستمر (Continuous Flow Reactor) الذي أصبح سائدا في السنوات اللاحقة وذلك بسبب سهولة تشغيله مقارنة بالنوع الأول حيث تدخل المطروحتات في هذا النظام بصورة مستمرة إلى وحدات الحمأة المنشطة مما ساهم في حل مشكلة التدفق المستمر لمياه المطروحتات داخل محطة المعالجة (Metcalf and Eddy, 2003).

ومع الوقت ظهرت العديد من التعديلات على نظام الحمأة المنشطة مثل نظام قنوات الأكسدة ونظام التهوية المطلولة ونظام التغذية بالجرارات المتتابعة (Sequencing Batch Reactor) وغيرها. وبالرغم من توالي ظهور هذه الانظمة، إلا إن الاختصاصيون يجمعون على فعالية نظام الحمأة المنشطة ذو مفاعلات المزج القطاعي (Conventional Plug Flow Reactors, CPF) وأفضليته على أنواع المعالجات الأخرى (Metcalf and Eddy, 2003)، وذلك بسبب كفاءته العالية كون إن شرائح المياه المتداخنة ستعمل كمفاعلات صغيرة مرتبطة على التوالى مع بعضها البعض مما يرفع من كفاءة الأداء، إضافة إلى القابلية على إزالة عدة ملوثات في نفس الوقت كون إن كل مفاعل صغير سيعمل بظروف مختلفة وبالتالي سيحتوي على نظام بيولوجي مختلف نوعا ما مما يعني خلق ظروف حياتية مختلفة ضمن قطاعات حوض التهوية وبالتالي القابلية على إزالة طائفة أوسع من الملوثات (المركز الإقليمي لأنشطة صحة البيئة، 2004). كما ويساهم التغيير في تراكيز الأوكسجين المذاب ضمن القطاعات، حيث يكون في أوجهه في بداية المفاعل وينقل تدريجيا عند نهايته (Pfenosil, 2003)، في تحقيق عملية النترجة وعكس النترجة في المفاعل إضافة لإمكانية إزالة المواد العضوية (EPA, 1997).

تعتبر أنظمة الحمأة المنشطة ذات مفاعلات المزج القطاعي من الانظمة المرنة التي تنتقل اضافة العديد من التطويرات التي تمكنه من الالقاء مع مختلف متطلبات المياه الخارجية بدون مضادات كيميائية وذلك من خلال إحداث تغييرات في خطة التشغيل (Aljarjary, 2009). ومن المحاولات التي جرت في هذا الاتجاه تحول بعض المهندسين باتجاه تطبيق مبدأ التغذية المقاطعة بدلا من التغذية المستمرة مع هذه الانظمة حيث تضمن هذه العملية تغذية المفاعلات التغذية بمياه الفضلات لفترة محددة ثم ايقاف التغذية لفترة معينة وحسب نسبة محسوبة، حيث يؤدي قطع التغذية عن المفاعل إلى تنافس الاحياء المجهرية على كمية الغذاء المتبقية في المفاعل وبالتالي تحسين ورفع كفاءة النظام في إزالة المواد العضوية والمعذيات من مياه الفضلات. وبالإضافة لذلك فإن تعرض الاحياء المجهرية الى ظروف مختلفة أثناء فترة التغذية وفترة انقطاعها وبشكل دوري يساعد في منع حصول ظاهرة انتفاخ الحمأة في هذا النظام وبالتالي الحصول على حمأة ذات خصائص ترسبيه جيدة (Metcalf and Eddy, 2003).

يهدف هذا البحث إلى دراسة تأثير طول مدد تشغيل التغذية ومدد انقطاعها في كفاءة إزالة المواد العضوية والتتروجينية والفوسفات في وحدات الحمأة المنشطة ذات الجريان القطاعي، كذلك وتحري تأثير تغير زمن المكوث الهيدروليكي (Hydraulic Detention Time, HDT) في كفاءة الإزالة في هذه المفاعلات.

## الدراسات السابقة

أجرى الباحث (Lorestani et al., 2012) دراسة لغرض المقارنة بين نظامين من انظمة الحمأة المنشطة في معالجة مياه الفضلات الناتجة من مصانع الالبان أحددهما يعمل بنظام الحمأة المنشطة ذات المزج القطاعي والأخر يعمل بنظام المزج الكامل. حيث تم خلال هذه الدراسة بيان تأثير تغيير الظروف التشغيلية متمثلة (تركيز -الـ COD) الداخل إلى المنظومة، نسبة ترجيع الحمأة، وقت المكوث الهيدروليكي) في كفاءة اداء هذه الانظمة. حيث كان تركيز -الـ COD الداخل إلى المنظومة يتراوح ما بين (50-1000 ملغم/لتر)، ووقت مكوث يتراوح ما بين (2-5 ساعه)، ونسبة ترجيع الحمأة ما بين (1-5%). استنتج الباحث بأن تحويل النظام الهيدروليكي داخل المفاعل من نظام المزج الكامل إلى نظام المزج القطاعي له اثر كبير في تحسين كفاءة ازالة المواد العضوية من مياه فضلات مصانع الالبان وتحسين الخصائص الترسبيه حيث كانت قيم معامل الدليل الحجمي للحمأة (58-30 ملilitر/غرام) في مفاعل الجريان القطاعي، بينما في مفاعل المزج الكامل تتراوح بين (45-50 ملilitر/غرام).

وقد قام الباحث (Chelliapan et al., 2011) بدراسة تأثير تغيير الظروف التشغيلية (الحمل الهيدروليكي والمسلط، وقت المكوث الهيدروليكي، اسلوب التغذية)، على اداء وحدات الحمأة المنشطة ذات المزج القطاعي. حيث استخدم الباحث محطة مختبرية تتكون من مفاعل بيولوجي يتتألف من اربعة قطاعات متساوية الحجم. اشتغل العمل المختبر على

مرحلتين تشغيليتين، تضمنت المرحلة الأولى تشغيل المفاعل البيولوجي باعتماد مبدأ التغذية المستمرة ولفتره (34 يوم)، في حين تم اعتماد مبدأ التغذية المتقطعة للمفاعل في المرحلة التشغيلية الثانية. استنتاج الباحث بأن كفاءة المفاعلات التي تعمل بالتجذية المتقطعة أعلى من مثيلاتها التي تعمل بالتجذية المستمرة حيث ازدادت كفاءة إزالة المواد العضوية من (72%) في المرحلة التشغيلية الأولى، إلى (92%)، في المرحلة التشغيلية الثانية.

كما أجرى الباحثان (Fang and Yeong, 1993) عدداً من التجارب لدراسة تأثير تغيير وقت المكوث الهيدروليكي (HRT) وقطع التهوية في أنظمة الحمأة المنشطة ذات المزج القطاعي على كفاءة إزالة المواد العضوية ومركبات الأمونيا والنتروجين من مياه الفضلات. حيث استخدم الباحثان ثلاثة مفاعلات بحجم (21.7 لتر) تعمل بنظام الحمأة المنشطة ذات الجريان القطاعي، وتم تهوية أحد هذه المفاعلات بصورة مستمرة أما المفاعلان الآخرين فقد تم تقطيع التهوية المسلطة عليهما لمدة نصف وقت التهوية الكلي. استنتاج الباحثان بأن كفاءة إزالة المواد العضوية كانت تتراوح ما بين (95-97%) وكفاءة إزالة الأمونيا تساوي (85%).

## المواد وطرائق العمل إنشاء المحطة الاختبارية (المفاعلات البيولوجية الاختبارية)

تم خلال البحث تنفيذ (5) محطات اختبارية، تتكون كل منها من مفاعل بيولوجي مستطيل الشكل مصنوع من مادة الزجاج بأبعاد (50 سم طول)، (15 سم عرض)، (20 سم الارتفاع الفعال) و (30 سم الارتفاع الكلي)، وبحسب النموذج المقترن من قبل الباحثين (1977) (Ramalho, 2008) و (Mortazavi et al., 2008). حورت أربعة من المحطات الاختبارية لعمل بنظام الحمأة المنشطة ذات الجريان القطاعي (Plug flow) والتغذية المتقطعة (Intermittent feeding)، في حين شغلت المحطة الخامسة باستخدام مبدأ التغذية المستمرة (continues feeding) وبنفس الظروف التشغيلية للمحطات الأخرى. تمت تغذية أحواض المحطة الاختبارية سيحا بالاعتماد على الجانبية الأرضية وذلك عن طريق استخدام حوض بلاستيكي بحجم (60) لتر يرتفع منسوب المياه فيه بحدود (30) سم عن نقطة التغذية. ولغرض إيصال مياه التغذية إلى أحواض المعالجة البيولوجية تم وضع خمسة صمامات تتدلى من أسفل الحوض بلاستيكي (60) لتر وذلك لغرض التحكم بكمية التصريف الداخل إلى أحواض التهوية. ولضمان تقطيع التغذية على اربعة مفاعلات بيولوجية بنسبة مقدارها (1/1)، (2/2)، (4/4)، (6/6) (ساعة تغذية/ساعة عدم تغذية) وللمفاعلات الاول والثاني والثالث والرابع وعلى التوالي، تم توصيل أربعة من هذه الصمامات بأربع خطوط بلاستيكية تنتهي إلى قفل كهربائي يعمل بصورة أوتوماتيكية عن طريق ربط كل قفل بمؤقت كهربائي (Programmable timers)، حيث ضبط كل مؤقت على فترات تشغيل وانطفاء محددة حسب نسبة التغذية إلى انقطاعها في كل مفاعل من المفاعلات الأربع، أما المفاعل الخامس فيتم تغذيته من الحوض بلاستيكي بصورة مستمرة.

ولغرض السيطرة على الحمل المسلط على المنظومة وتجنب التغير في الخصائص، ودراسة تحديد تأثير كل متغير بشكل مستقل بدون التداخل الحالى عن تغير نوع وخصائص مياه الفضلات الداخلية فقد استخدم في البحث مياه فضلات مصنعة مماثلة في خصائصها لمياه الفضلات المدنية وحسب التوصية المقترنة من قبل (Bracklow et al., 2007). يبين الجدول رقم (1) المواد المستخدمة في صناعة مياه الفضلات الشبيهة بمياه الفضلات المنزلية.

**الجدول رقم (1): المواد المستخدمة في صناعة مياه الفضلات الشبيهة بمياه الفضلات المنزلية**  
. (Bracklow et al., 2007)

المادة المستخدمة	التركيز (mg/l)	COD (mg/l)	BOD5 (mg/l)	النتروجين الكلى (mg/l)	الفسفور الكلى (mg/l)
NH <sub>4</sub> CL	104	0	0	27	0
Peptone	25.9	25.9	14.5	1	0
KH <sub>2</sub> PO <sub>4</sub>	19.35	0	0	0	4.3
النشا	271	271	153.6	0	0
Milk	200	200	116	11.96	1.96
K <sub>2</sub> HPO <sub>4</sub>	10.034	0	0	0	1.74
MgSO <sub>4</sub> .7H <sub>2</sub> O	5.8	0	0	0	0
Urea	45.87	11.61	6.83	21.4	8
المجموع		500	300	40	40

تم تشغيل المحطات الاختبارية الخمسة على ثلاثة مراحل تشغيلية. تمت تغذية احدى هذه المحطات بشكل مستمر في الوقت نفسه تم تغذية المحطات الأربع الأخرى بشكل متقطع وذلك بتحديد نسبة التغذية إلى انقطاعها (ساعة تغذية/ساعة عدم تغذية) في كل مفاعل من المفاعلات الأربع العاملة بنظام التغذية المتقطعة. حيث ثبتت في كل مرحلة نسب التغذية إلى انقطاعها (ساعة تغذية/ساعة عدم تغذية) بمقدار (1/1) في الحوض الأول، و (2/2) في الحوض الثاني، و (4/4) في الحوض الثالث، و (6/6) في الحوض الرابع، أما الحوض الخامس فقد تمت تغذيته بشكل مستمر وكما ذكر سابقاً. ولضمان تطبيق مبدأ التهوية المتقطعة على المنظومة المختبرية تم ربط جميع مضخات التهوية بموقٍت كهربائي (Timer) يعمل بنسبة مقدارها (0/0)، (1/1)، (3/3)، (4/4)، (5/5)، (6/6) ساعة تشغيل/ساعة وفوف)، في كل مرحلة من المراحل التشغيلية الثلاثة. كذلك ولغرض تحقيق أهداف البحث فقد شغلت المحطات الخمس على أزمان مكوث هييدروليكيه مختلفة تتراوح ما بين (12) إلى (24) ساعة، لاحظ (الجدول 2).

تمت مراقبة كل من تراكيز المتطلب الكيميائي للأوكسجين الذائب ( $\text{COD}_{\text{sol}}$ ) والامونيا ( $\text{NH}_3$ ) والنترات ( $\text{NO}_3^-$ ) والفسفات ( $\text{PO}_4^{3-}$ ) للخارج من المحطة الاختبارية بشكل دوري بمعدل قراءة واحدة بصورة يومية ولكل حوض وذلك لتقدير كفاءة الإزالة (Ramalho, 1977).

**الجدول رقم (2): يبين المراحل التشغيلية للمحطة الاختبارية**

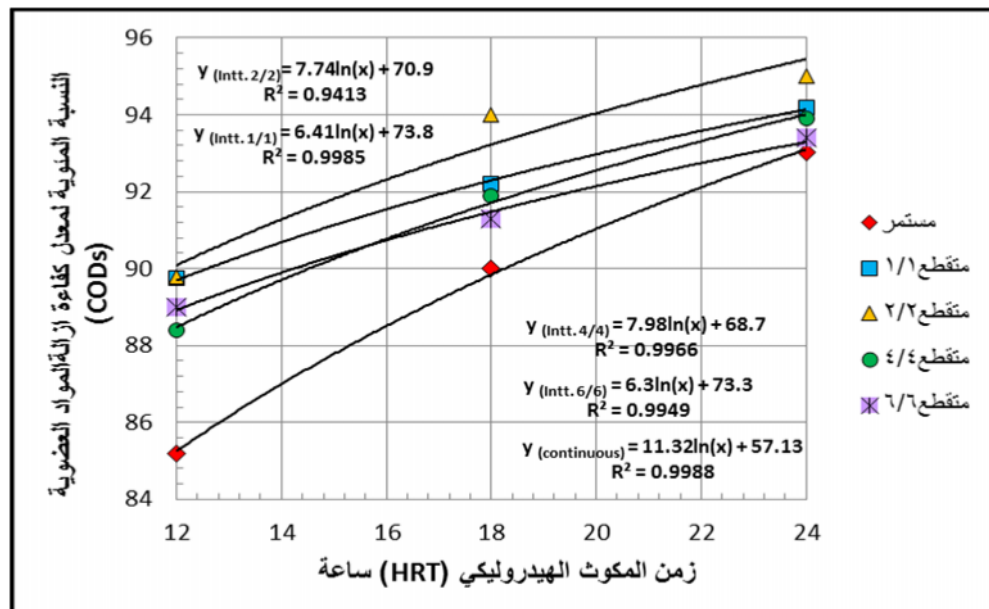
المرحلة التشغيلية	رقم الجولة	وقت المكوث (ساعة)	وقت التشغيل/وقف	وقت التهوية	المفاعل الاول	المفاعل الثاني	المفاعل الثالث	المفاعل الرابع	المفاعل الخامس	الفاعل توقف/تشغيل hr/hr				
الاولى	12	مستمرة	متقطعة	مستمرة	مستمر	متقطع	متقطع	متقطع	متقطع	6/6	4/4	2/2	1/1	0/0
														0/0
														1/1
الثانية	18	متقطعة	مستمرة	مستمرة	مستمر	متقطع	متقطع	متقطع	متقطع	6/6	4/4	2/2	1/1	0/0
														3/3
														0/0
الثالثة	24	متقطعة	متقطعة	مستمرة	مستمر	متقطع	متقطع	متقطع	متقطع	6/6	4/4	2/2	1/1	0/0
														1/1
														3/3
الرابعة		متقطعة	مستمرة	مستمرة	مستمر	متقطع	متقطع	متقطع	متقطع	6/6	4/4	2/2	1/1	0/0
														0/0
														1/1
الخامسة		متقطعة	مستمرة	مستمرة	مستمر	متقطع	متقطع	متقطع	متقطع	6/6	4/4	2/2	1/1	0/0
														0/0
														3/3
السادسة		متقطعة	مستمرة	مستمرة	مستمر	متقطع	متقطع	متقطع	متقطع	6/6	4/4	2/2	1/1	0/0
														0/0
														3/3
السابعة		متقطعة	مستمرة	مستمرة	مستمر	متقطع	متقطع	متقطع	متقطع	6/6	4/4	2/2	1/1	0/0
														0/0
														1/1
الثانية		متقطعة	مستمرة	مستمرة	مستمر	متقطع	متقطع	متقطع	متقطع	6/6	4/4	2/2	1/1	0/0
														0/0
														3/3
الثالثة		متقطعة	مستمرة	مستمرة	مستمر	متقطع	متقطع	متقطع	متقطع	6/6	4/4	2/2	1/1	0/0
														0/0
														3/3

### النتائج والمناقشة

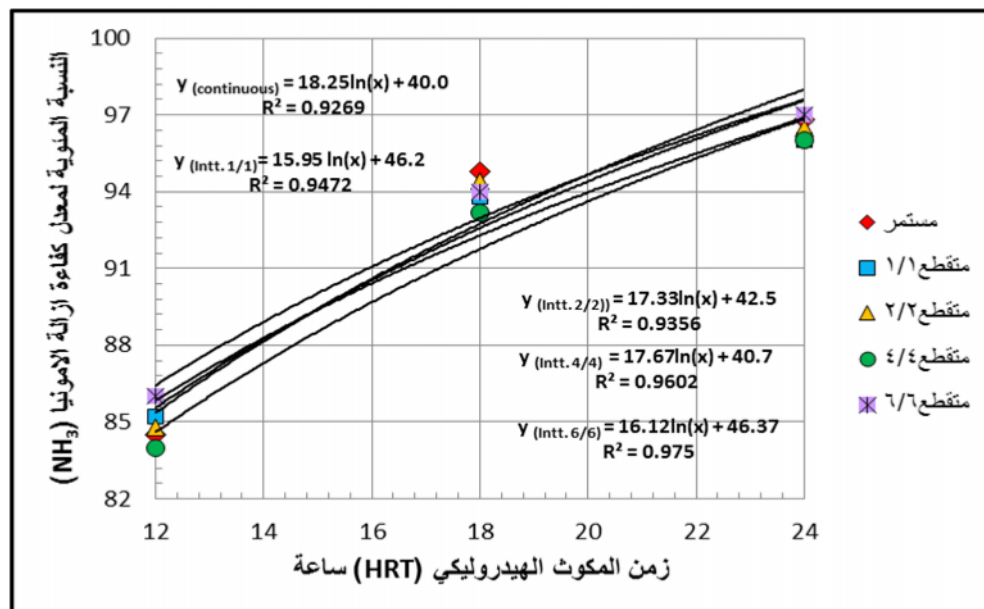
تأثير تغير وقت المكوث الهيدروليكي في كفاءة إزالة المواد العضوية وكفاءة إزالة الامونيا يمثل الشكل (1) العلاقة بين زمن المكوث الهيدروليكي وكفاءة إزالة المواد العضوية الذائبة ( $\text{COD}_{\text{sol}}$ ) للمفاعلات الاختبارية وللمراحل التشغيلية الثلاثة، وكما يلاحظ من الشكل فإن انخفاض زمن المكوث الهيدروليكي يؤدي إلى نقصان في كفاءة الإزالة بسبب عدم قدرة المفاعلات البيولوجية على أكسدة جميع المادة العضوية الداخلة إلى المفاعل وخروج المياه من المفاعلات البيولوجية بشكل أسرع، كذلك يتبع زمن المكوث الهيدروليكي الكافي وقت أطول لللتحام بين الأحياء المجهرية والمواد العضوية مما يزيد من فرصة إزالتها، بالإضافة إلى إن زيادة زمن المكوث يؤدي إلى زيادة تراكيز الأحياء المجهرية (MLVSS) في المفاعلات البيولوجية مما يؤدي بدوره إلى زيادة استهلاك المواد العضوية وهذا يتواافق مع (Metcalf and Eddy, 2003) و (Obaja, 2002).

اما الشكل (2) فهو يوضح العلاقة بين زمن المكوث ومعدل كفاءة إزالة الامونيا للمحطات الاختبارية التي تعمل بالتجذية المتقطعة والمحطة التي تعمل بالتجذية المستمرة، ومن خلاله يتبيّن انه باانخفاض زمن المكوث الهيدروليكي تقل كفاءة إزالة الامونيا وكفاءة المراحل التشغيلية. ويعود السبب في ذلك إلى زيادة فرص التلامس داخل المفاعلات البيولوجية

مع زيادة زمن المكوث الهيدروليكي مما يزيد من فرصة قيام الأحياء المجهرية بأكسدة الأمونيا إلى النترات بعملية النترة، وتتوافق هذه النتيجة مع (Obaja, 2002)



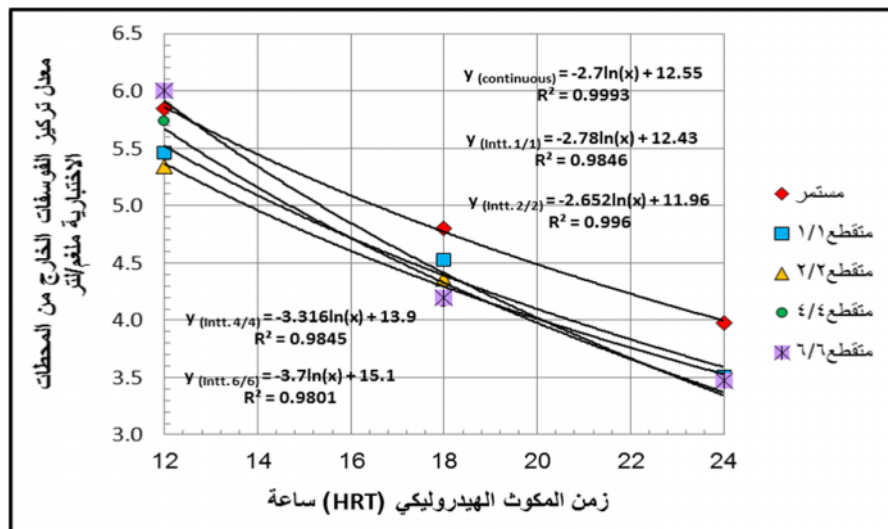
الشكل (1): العلاقة بين زمن المكوث الهيدروليكي (HRT) وكفاءة إزالة المواد العضوية الذائبة (COD<sub>sol</sub>) للمفاعلات الاختبارية ولمراحل التشغيلية الثلاثة.



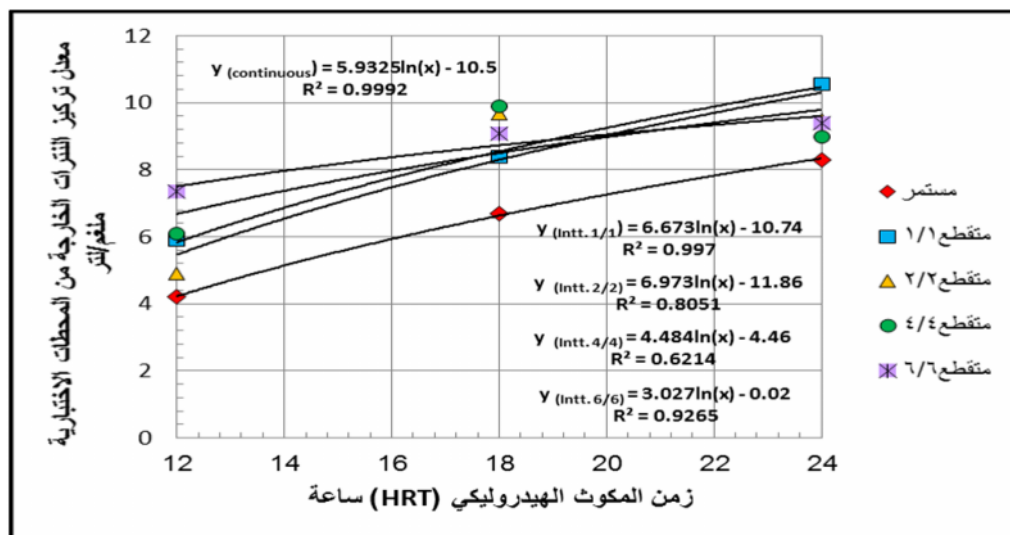
الشكل (2): العلاقة بين زمن المكوث الهيدروليكي ومعدل كفاءة إزالة الأمونيا (NH<sub>3</sub>).

تأثير تغير زمن المكوث الهيدروليكي في تراكيز الفوسفات (PO<sub>4</sub>) والنترات (NO<sub>3</sub>) يوضح الشكل (3) العلاقة بين زمن المكوث الهيدروليكي وتراكيز الفوسفات في الماء الخارج من المحطات الاختبارية حيث يلاحظ ارتفاع التراكيز مع نقصان زمن المكوث الهيدروليكي، وبعود السبب في ذلك إلى زيادة ان زيادة زمن المكوث توفر فرصة تماست أكبر للحيوانات المجهرية المسئولة عن إزالة الفوسفات مع مياه الفضلات الداخلة وبالتالي زيادة فرصة إزالة الفوسفات، وتتفق هذه النتيجة مع ما أورده (Garcia et al., 2002).

اما بالنسبة لتأثير زمن المكوث الهيدروليكي في تراكيز النترات الخارجة من المحطات الاختبارية التي تعمل بنظام الحمأة المنشطة ذات المزج القطاعي والتغذية المتقطعة ونال العاملة بالالتغذية المستمرة، فان زيادة زمن المكوث الهيدروليكي يؤدي الى تزايد تركيز النترات في الماء الخارج، (لاحظ الشكل 4). وبعود السبب في ذلك الى زيادة فرصة قيام الاحياء المجهرية بعملية التنمرة نتيجة زيادة فرصة التماس داخل المفاعل البيولوجي مع زيادة زمن المكوث الهيدروليكي، وتتوافق هذه النتيجة مع ما اوردته العديد من الباحثين مثل (Fang and Yeong, 1993).

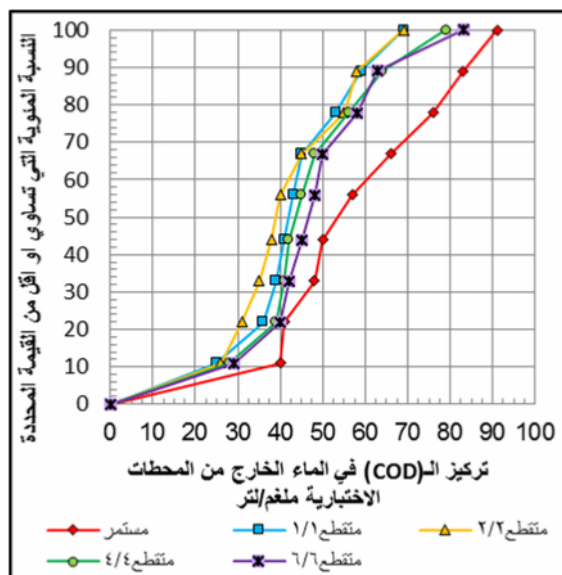


الشكل (3): العلاقة بين زمن المكوث الهيدروليكي (HRT) للمفاعل البيولوجي ومعدل تركيز الفوسفات المتبقى الخارج من المحطات الاختبارية.



الشكل (4): العلاقة بين زمن المكوث الهيدروليكي (HRT) ومعدل تركيز النترات الخارجية من المحطات الاختبارية.

**تأثير تغير اسلوب التغذية في كفاءة ازالة المواد العضوية**  
يبين الشكل (5) التوزيع التكراري التراكمي لمعدل تراكيز الـ(COD) الخارج من المحطات الاختبارية ولجميع الجولات التشغيلية التسعة. وكما يلاحظ من الشكل فان (100%) من تراكيز المواد العضوية الذائبة للمياه الخارجية من المحطات ذات التغذية المتقطعة والمحطة ذات التغذية المستمرة على التوالي كانت ضمن محدودات الطرح المحليه (وزارة الصحة العراقية، 1998).

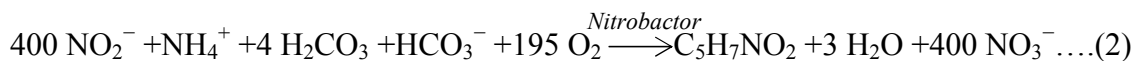


الشكل (5): التوزيع التكراري التراكمي لمعدل تراكيز المواد  
العضوية الدائبة الخارجة وللمراحل التشغيلية الثلاث

وكما يظهر من الشكل فان تراكيز المواد العضوية الدائبة للمياه الخارجة من المحطات الاختبارية التي تمت تغذيتها بصورة متقطعة كانت أقل من تراكيز المواد العضوية الخارجية من المحطة الاختبارية التي تعمل بنظام التغذية المستمرة. ويعود السبب في ذلك إلى ان تعرض الاحياء المجهرية (البكتيريا) إلى اقطاع التغذية بصورة دورية يولد حالة من عدم الاستقرار داخل المفاعل مما يشكل دافعا للاحياء المجهرية لكي تغير من سطح وتركيب الخلية البكتيرية وبذلك تلتصق الخلايا مع بعضها البعض بحيث تكون مستعمرات بكتيرية كبيرة وقوية تجتمع الخلايا مع بعضها وتصرفها ككتلة عضوية واحدة وسيطرتها بشكل كامل في المفاعلات المتقطعة التغذية. وتتوافق هذه النتيجة مع ما أورده Tay et al., (2001).

### تأثير تغير اسلوب التغذية في كفاءة ازالة المواد النيتروجينية

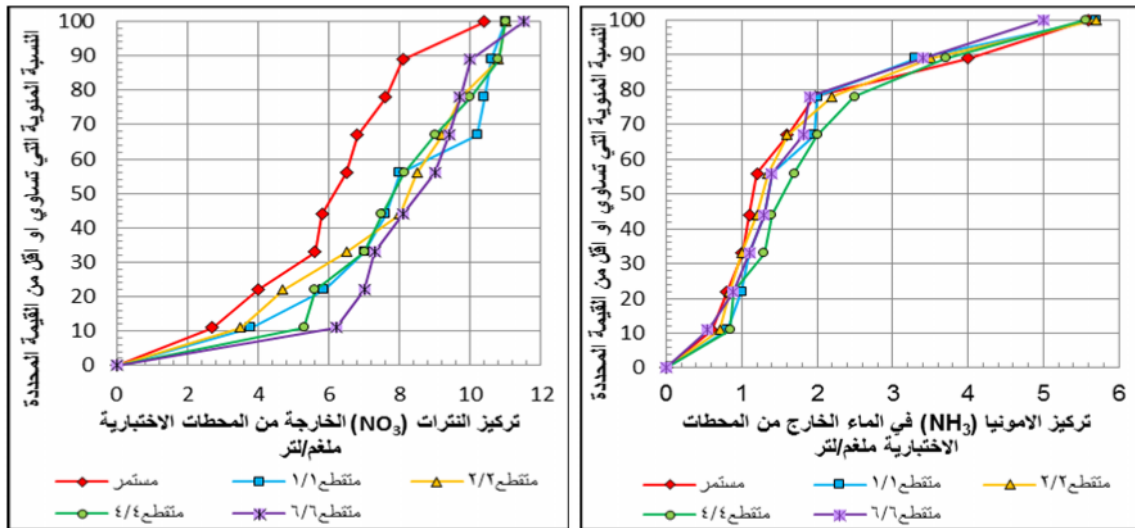
يظهر الشكل (6) ان (22%) من تراكيز الأمونيا الخارجية من مفاعلات الجريان القطاعي ذات التغذية المتقطعة بنسب تساوي (1/1) و (6/6) والمفاعل ذات التغذية المستمرة كانت ضمن حدود التشریعات البيئية العراقية المعتمدة ( $\text{NH}_3 \leq 1 \text{ mg/l}$ ) (وزارة الصحة العراقية، 1998) ، (33%) من تراكيز الأمونيا الخارجية من المفاعلات المتقطعة التغذية بنسبة (2/2) كانت اقل من (1 ملغم/لتر). ومن مقارنة تأثير تغير اسلوب التغذية على تراكيز الأمونيا الخارجية، نلاحظ بان النتائج كانت متقاربة نوعا ما لمفاعلات التغذية المتقطعة ومفاعل التغذية المستمرة وذلك لأن الاحياء المجهرية تقوم باكتسدة مركبات الأمونيا باعتبارها من المغذيات الضرورية لنموها سواء تم تغذية المفاعلات بصورة مستمرة او بصورة متقطعة وتتوافق هذه النتيجة مع ما اورده الباحث (Aivazidis, 2004). ومن ملاحظة الشكل (7) نجد أن جميع قيم تراكيز النترات للمياه الخارجية من المفاعلات الاختبارية وللمراحل التشغيلية الثلاث تقع ضمن مواصفات الطرح العراقي المعتمدة ((وزارة الصحة العراقية، 1998) :  $\text{NO}_3^- \leq 50 \text{ mg/l}$ ). كذلك يلاحظ من الشكل أن تراكيز النترات في المياه الخارجية من مفاعلات التغذية المتقطعة كانت اعلى منها في مفاعل ذات التغذية المستمرة وكافة المراحل التشغيلية، ويعود السبب في ذلك الى انه في فترة انقطاع التغذية عن المفاعل تنخفض نسبة الغذاء الى الاحياء المجهرية وعندها تتجه الاحياء المجهرية للبحث عن مصدر اخر للغذاء فتشتت بكتيريا التترجمة التي تقوم باكتسدة ايونات الامونيوم ( $\text{NH}_4^+$ ) إلى نتریت ( $\text{NO}_2^-$ ) والنترات ( $\text{NO}_3^-$ ) للحصول على الطاقة اللازمة لنموها وإنتاج خلايا بكتيرية جديدة (لاحظ المعادلتين 1 و 2)، (Metcalf and Eddy, 2003) وتتوافق هذه النتيجة مع ما جاء به (Kalyuzhnogis et al., 2007).



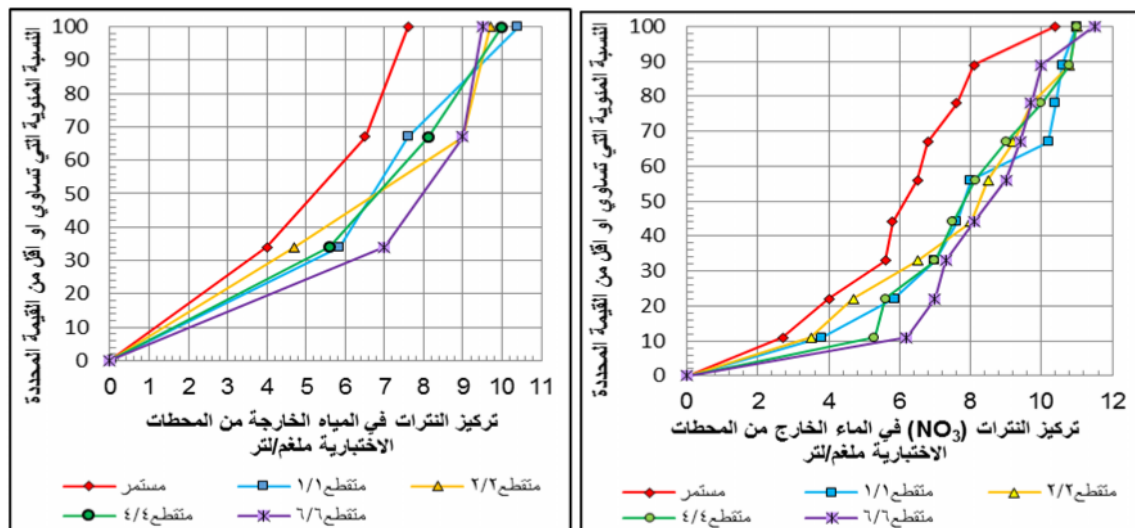
### تأثير تغير نظام التهوية في تراكيز الفوسفات والنترات الخارجية من المحطات الاختبارية

يلاحظ من الاشكال (8) و (9) و (10) ان تراكيز النترات الخارجية من جميع المحطات الاختبارية كانت تزداد في الجولات (الاولى) من المرحلة التشغيلية الاولى، و (الرابعة) من المرحلة التشغيلية الثانية، و (السابعة) من المرحلة التشغيلية الثالثة، بسبب توفر الظروف الهوائية (تهوية مستمرة) الضرورية لحصول عملية التترجمة، في حين يقل تراكيز النترات في الجولات التي يتم فيها تقطيع التهوية بسبب نشاط بكتيريا عدم التترجمة التي تقوم باختزال النترات ( $\text{NO}_3^-$ ) الى النتریت ( $\text{NO}_2^-$ ) تحت الظروف اللاهوائية، وتتوافق هذه النتيجة مع ما اورده الباحث (Hasar et al., 2002).

كذلك تبين الاشكال (11) و (12) ان تركيز الفوسفات الخارج من جميع المحطات الاختبارية كان ينخفض في الجولات التشغيلية التي كانت فيها التهوية مستمرة ثم يزداد تركيز الفوسفات الخارج في الجولات التي تم فيها تقطيع التهوية بنسبي (1/3)، (2/3). ويعود السبب في ذلك إلى انه في الظروف الهوائية تقوم البكتيريا من نوع (Heterotrophic) بامتصاص الفسفور الداخل إلى المنظومة وذلك لاحتياجها له في نموها وتكون خلايا بكتيرية جديدة، أما في الظروف اللاهوائية التي تعقب الظروف الهوائية في كل مرحلة من المراحل التشغيلية فان (bacteria) تعمل على توفير المواد العضوية على هيئة (VFAs) volatilefatty acids و بذلك تتهيأ الظروف الملائمة لنمو نوع اخر من البكتيريا وهي بكتيريا (PAOs)، ولعدم توفر تراكيز كافية من الاوكسجين او التترات فلا تعمل هذه البكتيريا على تحليل المواد العضوية في الظروف اللاهوائية حيث تقوم بكتيريا (PAOs) بخزن (VFA) volatile fatty acids وتحرير الفسفور الذائب والمخزون في الخلية البكتيرية، وتتوافق هذه النتيجة مع ما أورده الباحثون (Garcia et al., 2003; Ekama and Wentzel, 1999).

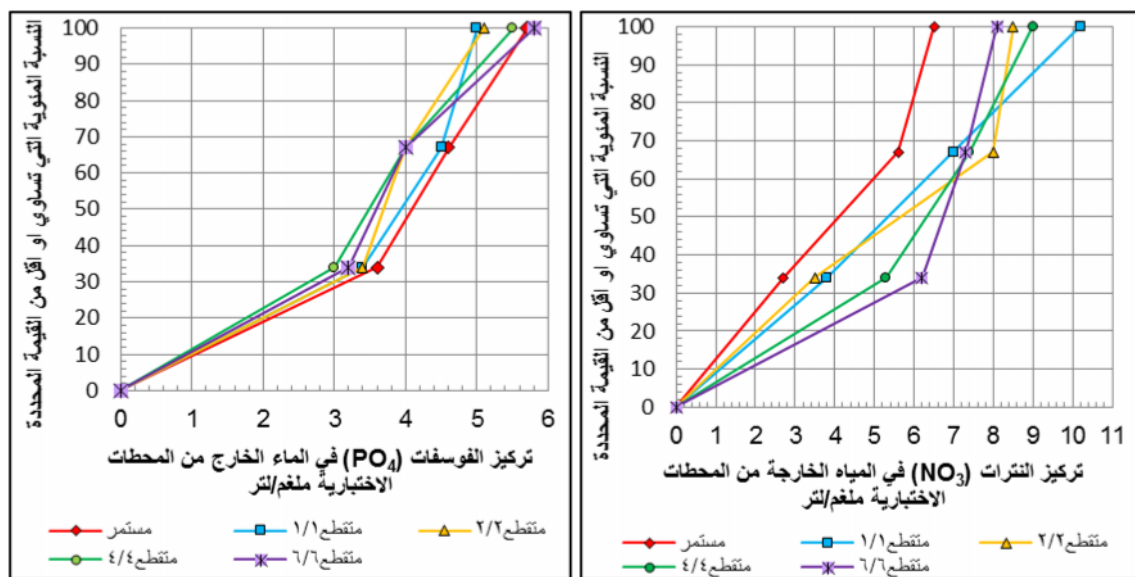


الشكل (6): التوزيع التكراري التراكمي لمعدل تراكيز الترکاري التراكمي لمعدن تراكيز الامونيا الخارجه من المحطات وللجلولات التشغيليه التسعه للتترات الخارجه من المحطات الاختباريه وللمراحل

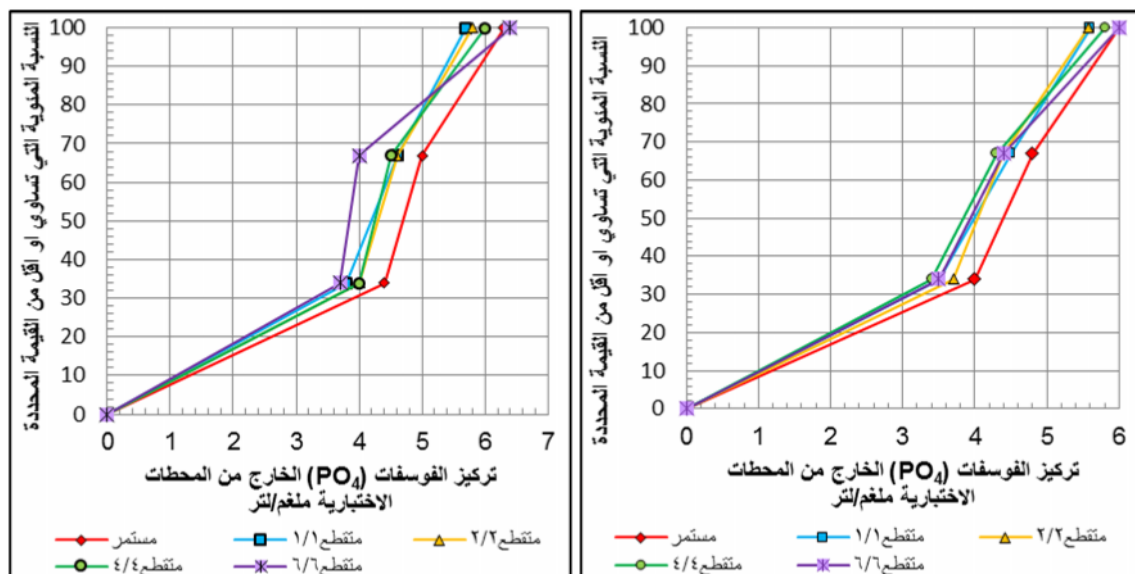


الشكل (7): التوزيع التكراري التراكمي لمعدل تراكيز الترکاري التراكمي لمعدن تراكيز النترات الخارجه من المحطات الاختباريه من الجولات دات التهوية المتقطعه بنسبة (1/1)

الشكل (8): التوزيع التكراري التراكمي لمعدل تراكيز النترات الخارجه من المحطات في الجولات دات التهوية



الشكل (11): التوزيع التكراري التراكمي لمعدل تراكيز النترات الخارجه من المحطات في الجولات ذات التهويه الفوسفات الخارج من المحطات الاختباريه في الجولات ذات التهويه المستمرة المفقطعه بنسبة (3/3)



الشكل (12): التوزيع التكراري التراكمي لمعدل تراكيز الفوسفات الخارج من المحطات الاختباريه في الجولات ذات التهويه المفقطعه بنسبة (1/1)

## الاستنتاجات

- ساهن تطبيق مبدأ التغذية المتقطعة في مفاعلات المزج القطاعي الى تقليل تراكيز المواد العضوية (COD<sub>S</sub>) في المياه الخارجه من هذه المحطات الاختبارية العاملة بهذا النمط من التغذية مقارنة مع المحطة ذات التغذية المستمرة وللمراحل التشغيلية الثلاثة.

2. لوحظ ان تراكيز النترات في المياه الخارجة من المحطات ذات التغذية المقطعة كانت اعلى من المياه الخارجة من المحطة ذات التغذية المستمرة ولكلفة المراحل التشغيلية.
3. وجد بان قيم تراكيز الامونيا ( $\text{NH}_3$ ) في المياه الخارجة من المحطات ذات التغذية المقطعة والمحطة ذات التغذية المستمرة كانت متقاربة في كافة الجولات التشغيلية، حيث ان معدل كفاءة الازالة للمحطات ذات التغذية المقطعة يساوي (%85)، (%94)، (%96)، ومقداره في المحطة ذات التغذية المستمرة (%85)، (%95)، (%97)، وللمراحل التشغيلية الثلاثة على التوالي.
4. تنخفض كفاءة إزالة المواد العضوية والأمونيا والفسفور مع انخفاض زمن المكوث الهيدروليكي (HRT) وفي كل من المفاعلات البيولوجية التي تعمل بنظام التغذية المقطعة والمفاعل ذات التغذية المستمرة.

#### المصادر

منظمة الصحة العالمية، المركز الاقليمي لأنشطة صحة البيئة (2004).  
 وزارة الصحة، دائرة حماية وتحسين البيئة، (1998)، "التشريعات البيئية"، قسم العلاقات والتوعية البيئية، العراق،  
 صفحة: .1-113

Aivazidis A., Kantartzis S.G. (2004), "Intermittent Feeding Vs Conventional Activated Sludge Treatment For Carbon and Nitrogen Removal ", Protection And Restoration Of The Environment VII Wastewater Treatment and Management I.

Aljarjary A. A.F., (2009), "The Comparison Between Modes of Continuous Aeration and Intermittent Aeration in The Efficiency And Stability of The Continuous Flow Activated Sludge Systems" .

APHA, (1998), "Standard Methods for the Examination of Water and Wastewater", 20th ed., Washington, D.C.

Bracklow U., Drews A., Vocks M., and Kraume M., (2007), "Comparison Of Nutrients Degradation In Small Scale MBR Fed With Synthetic/Domestic Wastewater", Hazardous Materials, Vol. 144 ,No. 3, PP. 620–626.

Chelliapan S., Alkarimiah R., Mahat S. B., Yuzir A., and Din M. F., M., (2011), "Operational Start-Up Performance of an Innovative Anaerobic Stage Reactor (ASR) using Synthetic Wastewater", *International Conference on Environment and Industrial Innovation IPCBEE vol.12 (2011) IACSIT Press, Singapore*.

Cheng J. and Liu B., (2001), "Nitrification/Denitrification in treatment aeration process for Swine Wastewater treatment", J. of Environmental Engineering, Vol. 127, No. 8.

Chudoba J., Ottova V., Madera V., (1973), "Control Of Activated Sludge Filamentous Bulking –Effect Of The Hydraulic Regime Or Degree Of Mixing In An Aeration Tank", J. of Water Research Vol. 7, Issue 8, PP 1163-1182.

Eckenfelder W.W. (2000) "Industrial water pollution control", 3rd ed., McGraw-Hill, New York.

Ekama G.A., and Wentzel M.G., (1999), "Difficulties and Development in Biological Nutrient Removal Technology and Modeling", Water Science Technology, Vol. 39, Issue 6, PP. 1-13.

EPA, ( 1997), "Wastewater treatment manuals Primary, Secondary and Tertiary treatment".

Fang H.H.P., And Yeong C.L.Y., (1993), "Biological Wastewater Treatment In Reactors With Fibrous Packing", J. Environ. Eng., Vol. 119, Issue 5, PP 46-957.

García-Encina P.A. , García M.C., Mate S. , Adrados F. , Iglesia D. , Fdz-Polanco F. and Villaverde S.,(2002)," Simultaneous Removal Of Organic Matter, Total Nitrogen And

Phosphorous In A Single Continuous Flow Activated Sludge Reactor Operated With Short Aeration Cycles", e-mail: pedro@iq.uva.es.

Guo J., Xu Y., Chen Y., Fan L., And Fang F., (2012), "Long Term Evolution Of Activated Sludge System Under Low Dissolved Oxygen Conditions", J. Of Environmental Biologe.

Hartley K. J. (1988), "Operating of activated sludge process", third edition, cartridge Haskins and Davey, Australaila.

Hasar H., Kinacib C. , Ünlü A. , To rulc H., and Ipek U., (2002) , " Role of Intermittent Aeration in Domestic Wastewater Treatment by Submerged Membrane Activated Sludge System", Desalination , Vol. 142, PP. 287-293.

Kalyuzhngis S., Gladchenko M., Mulder A., And Versprille B., (2007), "Comparison Of Quasistead State Performance Of The DEAMOX Process Under Intermittent And Continuous Feeding And Different Nitrogen Loading Rates"Depatment Of Chemical Enzymology, Chemistry Faculty, Moscow State University, Russian Federation.

Lorestani A.A., Bashiri H., Asadi A., Bonakdri H., (2012), "Comparison of Different Fluid Dynamics In Activated Sludge System for The Treatment of Astimulated Milk Processing Wastewater: Process Analysis And Optimization", Korean Journal Of Chemical Engineering, Vol.29, Issue 10, PP 1352-1361.

Metcalf and Eddy, Inc. (2003), "Wastewater engineering treatment /disposal /reuse", 4<sup>th</sup> ed., McGaw-Hill, Inc., New York.

Mortazavi S.B. , Khavanin A. , Moussavi G. and Azhdarpoor A. (2008) , " Removal of Sodium Dodecyl Sulfate in an Intermittent Cycle Extended Aeration System" ,Pakistan Journal Biological Sciences 11, Issue 2, PP. 290-293.

Obaja D., Mace S. , Costa J., Sans C., and Mata-Alvarez J., (2002), "Nitrification, Denitrification and Biological Phosphorus Removal in Piggery Wastewater Using a Sequencing Batch Reactor ", Bioresource Technology, Vol. 87, PP 103-111.

Pfenosil J. E., (2003), "Biological Reaction Engineering", Second edition, WILEY-VCH Verlag GmbH & CO. KGaA, Weinheim.

Ramalho R.S., (1977), "Introduction to wastewater treatment process", Academic press, Inc., Canada.

Russell D.L., (2006), "Practical Wastewater Treatment", Wiley & Sons, Inc., Hoboken, New Jersey, Published simultaneously in Canada.

Tay J.H., Liu Y., And Liu Q.S., (2001), "Microscopic Observation Aerobic Granulation in Sequential Aerobic Sludge Blanket Reactor", J. Of Applied Microbiology, Vol.19, PP 168-175.

Tsai M.-W., Wentzel M.C., and Ekama G.A., (2004), "The Effect of Residual ammonia concentration under aerobic conditions on the growth of *M.parvicella* in Biological Nutient Removal Plants" , Water Research Group, pp. 1078-1086.

Wei Y., Vanhouten R.T., Borger A.R., Eikelboom D.H., And Fan Y., (2003), "Comparison Performance Of Membrane Bioreactor And Continuous Activated Sludge Processes On Sludge Reduction Induced By Oligochaete", Environ. Sc. Technol., Vol. 37, Issue 14, PP 3171-3180.

تم اجراء البحث في كلية الهندسة = جامعة الموصل